

## مطالعه آزمایشگاهی و عددی پایداری شیب ماسه‌ای با استفاده از ستون سنگی مسلح با ورقه‌های افقی ژئوتکستایل\*

محمد حاجی‌عزیزی<sup>(۱)</sup>مسعود نصیری<sup>(۲)</sup>

**چکیده** هدف از انجام این پژوهش، مطالعه آزمایشگاهی بر روی عملکرد ستون سنگی معمولی و ستون سنگی مسلح با ورقه‌های افقی ژئوتکستایل در پایدارسازی شیب‌های خاکی ماسه‌ای می‌باشد. مدل شیب ماسه‌ای پس از ساخت از طریق بارش اشباع شده و با نصب ستون سنگی معمولی و ستون سنگی مسلح با ورقه‌های افقی ژئوتکستایل درون آن، مسلح شده است و در نهایت تاج شیب بارگذاری شده است. نتایج به دست آمده با استفاده از روش تفاضل محدود سه‌بعدی (FLAC<sup>3D</sup>) نیز مورد تأیید قرار گرفته‌اند. نتایج مدل سازی‌های آزمایشگاهی و تحلیل‌های عددی، نشان داده‌اند که ستون سنگی مسلح با ژئوتکستایل در وسط شیب ماسه‌ای تأثیر چشم‌گیری در افزایش پایداری شیروانی مسلح دارد؛ به طوری که ستون سنگی مسلح مقاومت برشی شیب ماسه‌ای را ۱/۵ برابر نسبت به ستون سنگی معمولی افزایش می‌دهد.

**واژه‌های کلیدی** شیب ماسه‌ای، پایدارسازی، ستون سنگی، ژئوتکستایل.

### Experimental and Numerical Investigation on Stability of Reinforced Sandy Slope using Reinforced Stone Column with Horizontally Laminated Geotextile Disks

M. Hajiazizi

M. Nasiri

**Abstract** The aim of this research is to experimentally investigate ordinary stone column and reinforced stone column using horizontally laminated geotextile disks in stabilizing sandy slopes. The sand slope model saturated through precipitation and reinforced by installing ordinary stone column and horizontal layers of geotextile within the stone column, and then slope crest undergo loading. Accuracy of experimental results confirmed using 3-D finite difference method (FLAC<sup>3D</sup>). Both experimental and numerical results show that geotextile reinforced stone column in the middle of sandy slope have an impressive impact on increasing stability of reinforced slope. In such way that reinforced stone column, increase shear strength of sandy slope up to 1.5 times more than ordinary stone column.

**Key Words** Sandy Slope, Stabilization, Stone Column, Laminated Geotextile Disks.

\* تاریخ دریافت مقاله ۹۵/۱۱/۱۸ و تاریخ پذیرش آن ۹۷/۴/۲۳ می‌باشد.

## مقدمه

در طول سالیان، موضوع تثبیت شیب‌های خاکی یکی از مسائل حائز اهمیت برای تحقیقات علمی بوده و توجهات بسیار زیادی را در سرتاسر دنیا به خود جلب کرده است. به‌طور کلی، شیوه‌های پایدارسازی یا نیروهای محرک را کاهش می‌دهند، یا نیروهای مقاوم را افزایش می‌دهند، و یا هر دوی این عملکردها را باهم دارند. پایدارسازی شیب‌ها می‌تواند با روش‌های متعددی از جمله تغییر هندسه سطح شیب (خاک‌ریزی پایین دست یا خاک‌برداری بالادست شیب)، استفاده از مسلح‌کننده‌های خاک و یا نصب اعضای باربر سازه‌ای همانند ستون‌های سنگی افزایش یابد. ستون‌های سنگی اعضای باربر سازه‌ای محسوب می‌شوند که می‌توانند سبب افزایش ضریب اطمینان شبروانی‌های خاکی شوند؛ این روش پایدارسازی، علاوه بر سادگی و راحتی اجرا در نواحی شیب‌ها، از نقطه‌نظر اقتصادی نیز نسبت به سایر روش‌های متداول اجرایی، مقرون به صرفه است. ستون‌های سنگی می‌توانند سبب افزایش ظرفیت باربری، کاهش میزان نرخ نشست، افزایش مقاومت برشی خاک پیرامونی، کنترل روانگرایی و ایجاد شرایط زهکشی شوند. ستون‌های سنگی به عنوان اعضای مقاومی عمل می‌کنند که عموماً در معرض نیروهای جانبی قرار دارند، بنابراین استفاده از پوشش ژئوتکستایل به عنوان ورقه‌های افقی درون ستون سنگی، سبب افزایش مقاومت برشی ستون سنگی و در نتیجه، افزایش مقاومت برشی خاک پیرامون آن می‌شود.

تاریخچه استفاده از ستون‌های سنگی به سال ۱۸۳۰ برمی‌گردد [1]. مطالعات آزمایشگاهی و تحلیل‌های عددی نشان داده‌است که علت اصلی بهبود خاک مسلح‌شده با ستون سنگی، سختی بالاتر ستون سنگی نسبت به خاک اطرافش می‌باشد [2]. ستون‌های سنگی قابلیت استفاده به منظور پایدارسازی و جلوگیری از وقوع زمین لغزش را نیز دارند [3]. تثبیت شیب‌های خاکی

اطراف بزرگ‌راهایی هم‌چون آلاسکا، کالیفرنیا، فلوریدا، آیووا، کنتاکی، می‌سی‌سی‌پی، نیویورک، تگزاس، داکوتای جنوبی، ویرجینیا و ویسکونسین به کمک ستون‌های سنگی انجام شده‌است [4]. ظرفیت باربری و نشست شبروانی خاکی مسلح با ستون سنگی به کمک مدل‌سازی‌های آزمایشگاهی توسط وکلی و همکاران انجام شده‌است [5]. تأثیر و کارایی ظرفیت باربری ستون‌های سنگی به تنش جانبی وابسته است و در برخی خاک‌ها لازم است تا محصور کنندگی اضافی برای آن فراهم شود که در این زمینه، شیوه‌های متفاوتی برای بهبود عملکرد ستون‌های سنگی پیشنهاد شده است. ابوشی و همکاران [3]، قسمت بالایی ستون سنگی را با پوشش فلزی مسلح کرده‌اند. راثو و بهندری [6] استفاده از دوغاب سیمان را برای جلوگیری از شکم‌دادگی ستون سنگی پیشنهاد داده‌اند. ژوران و ریکوبونو [7] پیشنهاد کرده‌اند که قسمت بالای ستون سنگی با سیمان مخلوط شود. استفاده از لایه‌های ژئوگرید نیز برای بهبود عملکرد ستون‌های سنگی پیشنهاد شده‌است [8, 9, 1]. روش مؤثر دیگر برای فراهم کردن فشار محصورکنندگی مورد نیاز به منظور افزایش ظرفیت باربری ستون‌های سنگی، استفاده از لایه‌های مسلح‌کننده ژئوتکستایل می‌باشد. ایده ستون سنگی مسلح با پیچیدن لایه ژئوتکستایل به دور آن برای اولین بار توسط ون ایمپ [10] ارائه شده است. کتی و همکاران [11] اثرات تسلیحی پیچیدن ژئوتکستایل به دور شمع‌های ماسه فشرده را بررسی کرده‌اند. آزمایش‌های فشاری محصور نشده و سه‌محوری بر روی ستون‌های سنگی مسلح با ژئوتکستایل، بهبود عملکرد این پوشش را اثبات کرده است [12]. تحقیقات فردوسی شاهاندشتی و همکاران [۱۳] نشان داد که افزایش میزان سختی ژئوستتیک‌ها می‌تواند سبب کاهش تغییر مکان‌ها شود. نتایج تحلیل‌های عددی بر روی خاکریز مسلح با ژئوتکستایل، بهبود کارکرد خاکریز را نشان داده است [۱۴].

معرفی می‌گردد و به همین منظور یک سری مدل‌سازی‌های آزمایشگاهی انجام گرفته است و نتایج به دست آمده با روش تفاضل محدود سه‌بعدی (FLAC<sup>3D</sup>) نیز مقایسه گردیده است. ذکر این نکته ضروری می‌باشد که در این پژوهش، هدف گسیختگی شیب و ایجاد تغییر شکل‌های پلاستیک در آن است و کرنش‌های کوچک و تغییر شکل‌های الاستیک به وجود آمده در شیب مورد توجه نخواهند بود.

### مدل‌سازی‌های آزمایشگاهی

#### جعبه آزمایش

جعبه آزمایش شامل پنج قسمت می‌باشد که عبارتند از: سیستم تأمین آب، محل ساخت مدل، قسمت زهکشی آب، تابلوهای پیزومتر و سیستم بارگذاری. جداره‌های شیشه‌ای جعبه به اندازه کافی صلب می‌باشند که شرایط کرنش مسطح را برای جلوگیری از جابه‌جایی‌ها حفظ کنند و اجازه مشاهده مدل را در زمان ساخت، بارش و بارگذاری می‌دهند. پیش از ساخت مدل‌ها، جداره‌های داخلی جعبه به خوبی به روغن آغشته می‌شوند تا اصطکاک با ماسه تا حد امکان کاهش یابد. جعبه آزمایش در شکل (۱) نشان داده شده است.



شکل ۱ جعبه آزمایش

#### مصالح آزمایش

**ماسه.** ماسه مورد استفاده در این پژوهش از نوع شسته است (شکل ۲). با انجام آزمایش برش مستقیم در حالت خشک و اشیاع پارامترهای مقاومتی ماسه مطابق جدول (۱) به دست آمده است. در این آزمایش از سه تنش عمودی ۰/۳، ۰/۶ و ۰/۹ کیلوگرم بر

مدل‌های تحلیلی برای آنالیزهای عددی ستون سنگی مسلح با ژئوتکستایل توسط محققان متعددی ارائه شده است [15-19]. بررسی عملکرد ستون‌های سنگی مسلح با ژئوستتیک‌ها به کمک روش‌های عددی مورد توجه پژوهشگران زیادی قرار گرفته است [20-26] و تحلیل تغییر شکل ستون‌های سنگی مسلح با ژئوستتیک بررسی شده است [27-34]. کمپفرت [35] با مطالعه بر روی کارایی ستون‌های مسلح، بهبود عملکرد این ستون‌ها را در مقابل ستون‌های سنگی معمولی نشان داده است. موروگسان و راجاگوپل [36] مجموعه‌ای از آزمایش‌های بارگذاری روی ستون‌های سنگی معمولی و ستون‌های سنگی مسلح انجام داده‌اند و به نتایج مطلوبی در این زمینه دست یافته‌اند. براساس نتایج تحقیقات حسین‌پور و همکاران [37] می‌توان گفت با استفاده از ژئوستتیک، تنش قائم بسیج شده روی ستون افزایش می‌یابد، تنش قائم روی خاک اطراف کاهش پیدا می‌کند و پوشش افقی ورقه‌های ژئوتکستایل سبب کاهش میزان نشست می‌شود. تحقیقات نظری افشار و قضاوی [38] نشان می‌دهد که شکم‌دادگی جانبی در ستون‌های سنگی مسلح با ژئوتکستایل به دلیل محصورشدگی جانبی اضافی که توسط ژئوتکستایل فراهم می‌شود، کمتر از ستون‌های سنگی معمولی است و لایه‌های افقی ژئوتکستایل این ویژگی را دارند که اگر یکی از ورقه‌های مسلح‌کننده در نصب یا بارگذاری دچار آسیب شود، لایه‌های دیگر به نقش تسلیحی خود ادامه دهند. نتایج تحقیقات هونگ و همکاران [39] نشان داده است که ستون‌های سنگی مسلح شده با ژئوتکستایل در زمان گسیختگی، ظرفیت باربری بیشتری نسبت به ستون‌های سنگی معمولی دارند.

علی‌رغم تحقیقات گسترده‌ای که در زمینه ستون‌های سنگی مسلح با ژئوتکستایل به آنها اشاره شد، استفاده از این پوشش، در مسلح‌سازی و افزایش پایداری شیب‌های خاکی مورد مطالعه قرار نگرفته است و به عنوان راهکاری جدید، در این مطالعه آزمایشگاهی، استفاده از این شیوه در مسلح‌سازی شیب ماسه‌ای

موقعیت‌های مختلف جعبه آزمایش کنترل گردیده است. هم‌چنین در زمان اجرا و ساخت شیب‌های خاکی، هیچ‌گونه جابه‌جایی‌های قابل مشاهده‌ای رؤیت نگردیده است.

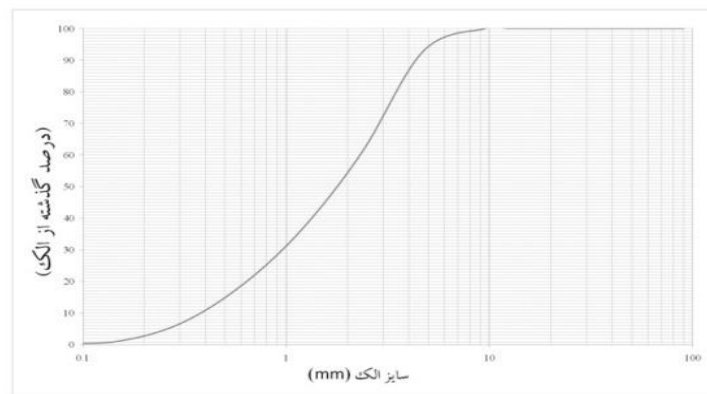


شکل ۲ ماسه شسته استفاده شده در آزمایشگاه

سانتی متر مربع استفاده شده است و تنش‌های برشی اعمالی هم به ترتیب عبارتند از ۰/۳۰۵، ۰/۵۶۶ و ۰/۸۱۱ کیلوگرم بر سانتی متر مربع. سرعت دستگاه برش هم ۰/۰۵ میلی متر بر دقیقه می باشد و ابعاد نمونه هم ۵ × ۵ × ۲ سانتی متر است.

دانه‌بندی ماسه توسط روش الک خشک انجام شده و نمودار آن در شکل (۳) آورده شده است (مقدار ریزدانه این ماسه کمتر از ۰/۲۸۵ درصد بوده است).

بستر ماسه‌ای در لایه‌های با ضخامت ۵۰ میلی متر توسط روش بارش که در آن ماسه از ارتفاع مشخص و کنترل شده‌ای ریخته می‌شود، ساخته شده است تا تراکم یکنواختی در مدل ایجاد شود. تراکم خاکریز در طول آزمایش با جمع‌آوری نمونه‌هایی با حجم مشخص در



شکل ۳ نمودار دانه‌بندی ماسه

جدول ۱ مشخصات ماسه

وزن مخصوص (حالت خشک)	۱۶ کیلو نیوتن بر متر مکعب
وزن مخصوص (حالت اشباع)	۱۸ کیلو نیوتن بر متر مکعب
زاویه اصطکاک داخلی (حالت خشک)	۴۰ درجه
زاویه اصطکاک داخلی (حالت اشباع)	۳۶ درجه
چسبندگی	۰
مدول الاستیسیته [۴۰]	۴۰ مگا پاسکال
چگالی ویژه	۲/۶۵
نسبت پواسن [۴۰]	۰/۳
حداکثر نسبت تخلخل	۰/۶
حداقل نسبت تخلخل	۰/۳



شکل ۴ شن استفاده شده در آزمایشگاه

لایه ژئوتکستایل. در این پژوهش از ژئوتکستایل بافته نشده استفاده شده است، بنا بر اعلام شرکت تولیدکننده آن، مدول سختی ژئوتکستایل ۶۰۰۰ کیلونیوتن بر متر و مقدار مقاومت کششی آن هم ۲۰ مگاپاسکال می باشد. همچنین ضخامت این لایه نیز ۲ میلی متر است (شکل ۵). جدول (۳) مشخصات ژئوتکستایل را نشان داده است.



شکل ۵ لایه ژئوتکستایل استفاده شده در آزمایشگاه

جدول ۳ مشخصات ژئوتکستایل

ضخامت	۲ میلی متر
مدول الاستیسیته	۲۰ مگاپاسکال
سختی کششی	۴۰ کیلونیوتن بر متر

### آزمایش های انجام شده و ساخت مدل ها

مدل های مورد نظر با روش بارش ساخته شده اند و از طریق جداره های شیشه ای جعبه آزمایش هم قابل مشاهده اند. به منظور بررسی اثر ستون سنگی مسلح با لایه های افقی ژئوتکستایل در شیب ماسه ای، سه نوع مدل

ستون سنگی. دانه بندی ستون سنگی از ذراتی تشکیل شده است که از الک شماره ۰/۵ اینچ عبور کنند و بر روی الک شماره ۴ باقی مانده باشند (شکل ۴). به کمک آزمایش برش مستقیم زاویه اصطکاک ستون سنگی در حالت خشک ۴۱ درجه و در حالت اشباع ۳۷ درجه به دست آمده است. برای ساخت ستون سنگی معمولی و ستون سنگی مسلح با ورقه های افقی ژئوتکستایل، از غلافی پلاستیکی به قطر ۳/۶ استفاده شده است (علت انتخاب این قطر برای ستون سنگی، محدودیت عرض جعبه بوده است و با انتخاب قطر ۳/۶ سانتی متری، تأثیر جداره های کناری بر ستون سنگی از بین رفته است). پیش از ساخت مدل، این غلاف پلاستیکی در محل مورد نظر قرار داده می شود و در حین ساخت مدل در هر مرحله، با توجه به میزان وزن مخصوص ستون، شن مورد نیاز درون آن ریخته و به وسیله میله مخصوص کوبش متراکم می شود. جدول (۲) خصوصیات فیزیکی شن مورد استفاده در ساخت ستون سنگی را نشان داده است.

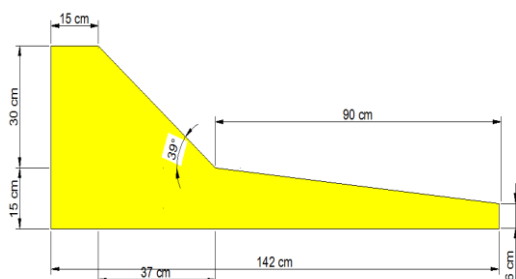
جدول ۲ مشخصات شن

وزن مخصوص (حالت خشک)	۱۶ کیلونیوتن بر متر مکعب
وزن مخصوص (حالت اشباع)	۱۹ کیلونیوتن بر متر مکعب
زاویه اصطکاک داخلی (حالت خشک)	۴۱ درجه
زاویه اصطکاک داخلی (حالت اشباع)	۳۷ درجه
چسبندگی	۰
مدول الاستیسیته [40]	۱۰۰ مگا پاسکال
چگالی ویژه	۲/۶۰
نسبت پواسن [40]	۰/۲
حداکثر نسبت تخلخل	۰/۷۵
حداقل نسبت تخلخل	۰/۳۵

۳. پس از ساخت مدل، برای جلوگیری از آبشستگی سطح شیروانی از یک لایه نازک دوغاب روی سطح شیب استفاده شده است.
۴. اشباع کردن مدل به کمک بارش مصنوعی صورت گرفته است و دبی بارش ۲ لیتر بر دقیقه بوده است.
۵. عملیات زهکشی و خروج آب مخزن از طریق قسمت پایین دست جعبه آزمایش انجام می‌شود.
۶. قطر ستون سنگی ۳/۶ سانتی‌متر بوده است و به اندازه ۵ سانتی‌متر از کف جعبه فاصله دارد.
۷. خاکریز ماسه‌ای به صورت یک لایه‌ای اجرا شده است و وزن مخصوص شیب و ستون سنگی ۱۶ کیلونیوتن بر مترمکعب می‌باشد.

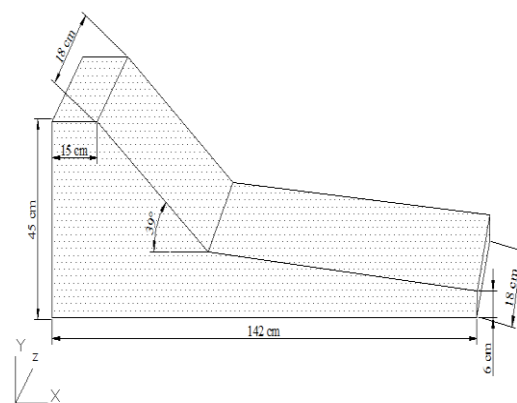
### شیروانی غیر مسلح

هندسه این شیب در شکل (۷) نشان داده شده است. در ابتدا جداره‌های داخلی شیشه روغن کاری شده‌اند و پس از ساخت شیروانی غیرمسلح (شکل ۸)، شیروانی از نظر پایداری بدون مشکل بوده است؛ سپس مدل تحت بارش مصنوعی قرار داده شده است. این شیروانی پس از گذشت حدود ۴۰ دقیقه از فرآیند اشباع، دچار ترک‌هایی در وسط شیروانی گردیده و پس از گذشت دقیقی گسیختگی کامل در آن رخ داده است. شکل (۹) گسیختگی کامل شیروانی غیرمسلح را در اثر اشباع کامل نشان داده است.



شکل ۷ هندسه شیب غیرمسلح

ساخته و مورد مطالعه قرار گرفته است. مدل اول ساخت شیروانی خاکی غیرمسلح و سپس انجام عملیات بارش و اشباع نمونه می‌باشد، مدل دوم ساخت شیروانی مسلح به کمک ستون سنگی در وسط شیروانی و انجام عملیات بارش و اشباع آن است و مدل سوم ساخت شیروانی مسلح با ستون سنگی به همراه لایه‌های افقی ژئوتکستایل در وسط شیروانی و انجام عملیات بارش و اشباع نمونه می‌باشد. در هر مرحله از اعمال بار، مدت زمانی این بارهای اعمالی ثابت نگه داشته می‌شوند تا شیب تحت اثر آن بار به تعادل برسد، سپس گام بعدی بارگذاری انجام می‌شود. مشخصات و شرایطی که در زیر ارائه می‌شود برای هر سه مدل مشابه و یکسان می‌باشند. هندسه کلی مدل‌ها در شکل (۶) نشان داده شده است.

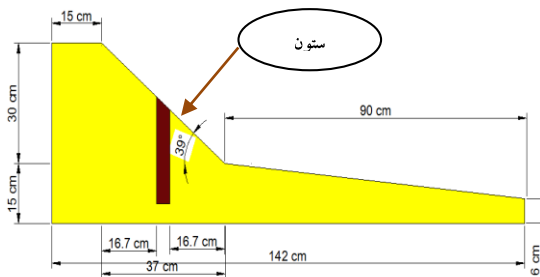


شکل ۶ هندسه کلی مدل‌ها

۱. برای از بین بردن اثر اصطکاک جداره‌های جعبه، پیش از شروع کار آنها به روغن آغشته می‌شوند تا اصطکاک آنها با ماسه تا حد ممکن، از بین برود.
۲. طول تاج شیروانی در هر سه مدل ۱۵ سانتی‌متر انتخاب گردیده است و زاویه شیب هم با توجه به زاویه اصطکاک داخلی ماسه خشک (۴۰ درجه) ۳۹ درجه بوده است. ارتفاع شیب ۳۰ سانتی‌متر و ارتفاع کلی مدل ساخته شده ۴۵ سانتی‌متر بوده است.

ساخت مدل، به آرامی و با احتیاط کامل غلاف بیرون کشیده می‌شود. اشکال (۱۰)، (۱۱) و (۱۲) به ترتیب هندسه شیب، مدل ساخته شده و موقعیت قرارگیری ستون سنگی را نشان می‌دهند.

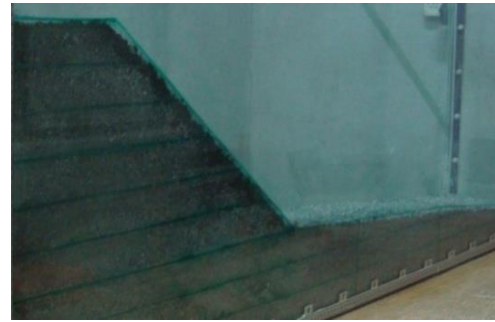
پس از تکمیل ساخت مدل، شیروانی تحت بارش مصنوعی قرار داده می‌شود و پس از اشباع کامل و با گذشت بیش از ۹۰ دقیقه هیچ‌گونه ترکی در شیروانی روی نمی‌دهد؛ پس می‌توان نتیجه گرفت پس از مسلح کردن با ستون سنگی ضریب اطمینان شیروانی افزایش یافته است. برای ایجاد گسیختگی، شیروانی تحت بارگذاری به صورت تدریجی قرار داده می‌شود (سرعت بارگذاری در حدود  $\frac{1 \text{ Kg}}{10 \text{ min}}$  بوده است). شیروانی به صورت تدریجی بارگذاری می‌شود و بدون فروپاشی مقاومت بسیار خوبی از خود نشان می‌دهد. پس از بارگذاری روی تاج شیب، شیروانی در فشار ۶۰/۶۰ کیلو پاسکال دچار گسیختگی می‌گردد. در شکل (۱۳) سطح لغزش شیب گسیخته شده را می‌توان مشاهده کرد.



شکل ۱۰ هندسه شیب مسلح با ستون سنگی معمولی



شکل ۱۱ مدل شیب مسلح با ستون سنگی معمولی



شکل ۸ مدل شیب غیرمسلح



شکل ۹ گسیختگی شیب غیرمسلح

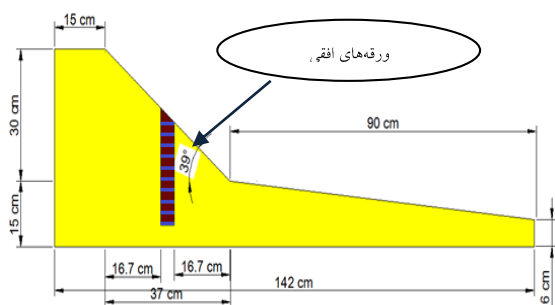
### شیروانی مسلح با ستون سنگی معمولی

باتوجه به تحقیقات انجام شده [41]، موقعیت بهینه برای قرارگیری ستون سنگی، در وسط شیروانی می‌باشد؛ به همین دلیل برای انجام آزمایش در شیروانی مسلح، ستون سنگی در وسط شیروانی قرار داده شده است. برای این کار ابتدا جداره‌های داخلی شیشه جعبه و جداره‌های داخلی و خارجی غلاف ستون به روغن آغشته شده است (به منظور تسهیل در بیرون کشیدن غلاف پس از اتمام ساخت). پیش از آغاز کار، غلاف مورد نظر در محل مشخص شده (روی لایه ۵ سانتی متری اول) قرار داده می‌شود و همراه هر لایه خاکریزی و تراکم، شن درون غلاف ریخته می‌شود و متراکم می‌گردد. پس از اتمام

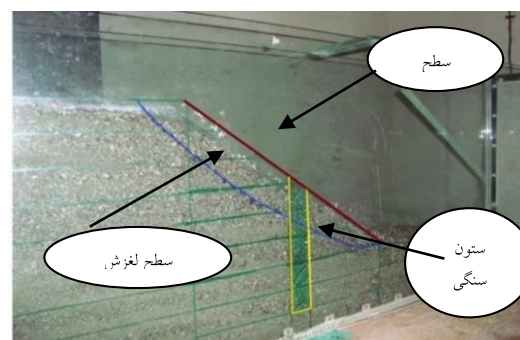
تدریجی قرار می‌گیرد (نرخ بارگذاری مشابه مدل پیشین بوده است). پس از بارگذاری تدریجی روی تاج، سرانجام شیب در فشار ۹/۰۹۰ کیلو پاسکال دچار گسیختگی می‌شود (ابتدا در وسط شیب و در محل ستون سنگی مسلح ترک عرضی ایجاد می‌شود و در نهایت گسیختگی کامل در مدل اتفاق می‌افتد). شکل (۱۷) سطح لغزش و جابه‌جایی ستون سنگی در شیب گسیخته شده را نشان می‌دهد.



شکل ۱۲ موقعیت قرارگیری ستون سنگی (وسط شیب)



شکل ۱۴ هندسه شیب مسلح با ستون سنگی تسلیح شده با ژئوتکستایل



شکل ۱۳ گسیختگی شیب مسلح با ستون سنگی معمولی

### شیروانی مسلح با ستون سنگی تسلیح شده با لایه‌های افقی ژئوتکستایل

هندسه شیب در شکل (۱۴) نشان داده شده است. برای انجام این آزمایش همانند قبل، ستون سنگی مسلح در وسط شیب قرار داده می‌شود. پیش از آغاز کار، لایه‌های ژئوتکستایل با مقطع دایره‌ای به قطر  $\frac{3}{6}$  سانتی‌متر بریده می‌شوند (شکل ۱۵). این شیب مسلح با همان غلاف پلاستیکی که برای ساخت ستون سنگی معمولی استفاده شد، ساخته شده است و پس از هر دو سانتی‌متر ریختن شن در غلاف، دو صفحه افقی ژئوتکستایل بالای لایه شن قرار داده می‌شوند و گام بعدی که ریختن و تراکم شن است انجام می‌گیرد (شکل ۱۶). پس از تکمیل ساخت، مدل تا اشباع کامل در معرض بارش مصنوعی قرار می‌گیرد و پس از گذشت بیش از ۸۰ دقیقه، همانند حالت شیب مسلح با ستون سنگی معمولی هیچ ترکی در این مرحله مشاهده نمی‌شود و شیب کاملاً پایدار باقی می‌ماند. در گام بعدی، شیب تحت بارگذاری



شکل ۱۵ ورقه‌های افقی ژئوتکستایل مورد استفاده در تسلیح ستون سنگی



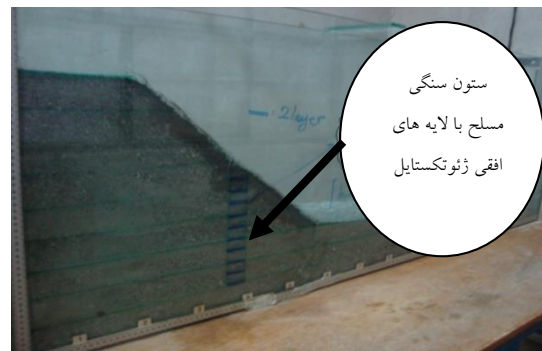
مدل شده در نرم افزار در جدول شماره (۴) نشان داده شده است.

جدول ۴ خصوصیات ژئومکانیکی مصالح در مدل سازی های عددی

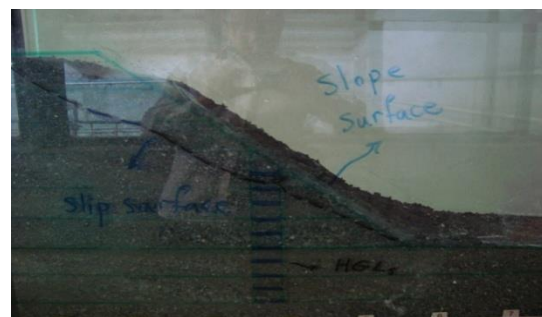
وزن مخصوص ماسه خشک	۱۶ کیلونیوتن بر متر مکعب
وزن مخصوص ماسه اشباع	۱۸ کیلونیوتن بر متر مکعب
وزن مخصوص ستون سنگی خشک	۱۶ کیلونیوتن بر متر مکعب
وزن مخصوص ستون سنگی اشباع	۱۹ کیلونیوتن بر متر مکعب
مدول بالک ماسه	$3/3 \times 10^7$ نیوتن بر متر مربع
مدول برشی ماسه	$1/5 \times 10^7$ نیوتن بر متر مربع
مدول بالک ستون سنگی	$5/6 \times 10^7$ نیوتن بر متر مربع
مدول برشی ستون سنگی	$4/2 \times 10^7$ نیوتن بر متر مربع
چسبندگی ماسه	۰
زاویه اصطکاک ماسه خشک	۴۰ درجه
زاویه اصطکاک ماسه اشباع	۳۶ درجه
چسبندگی ستون سنگی	۰
زاویه اصطکاک ستون سنگی خشک	۴۱ درجه
زاویه اصطکاک ستون سنگی اشباع	۳۷ درجه
مدول بالک ژئوتکتایل	$2/0 \times 10^9$ نیوتن بر متر مربع
مدول برشی ژئوتکتایل	$1/2 \times 10^9$ نیوتن بر متر مربع
تنش کششی ژئوتکتایل	$2/0 \times 10^7$ نیوتن بر متر مربع

### تحلیل عددی شیروانی غیر مسلح

مدل شیب غیر مسلح در تحلیل عددی در شکل (۱۸) نشان داده شده است. پس از مدل سازی شیروانی غیر مسلح در حالت خشک مقدار ضریب اطمینان  $1/12$  به دست می آید (شکل ۱۹) و شیروانی در این حالت پایدار است. سپس شیروانی در حالت اشباع مدل سازی می شود؛ در حالت اشباع شیروانی دچار گسیختگی می گردد و مقدار ضریب اطمینان آن  $0/97$  به دست می آید (شکل ۲۰). این دو مورد دقیقاً همانند آن چیزی است که در آزمایشگاه مشاهده گردیده است.



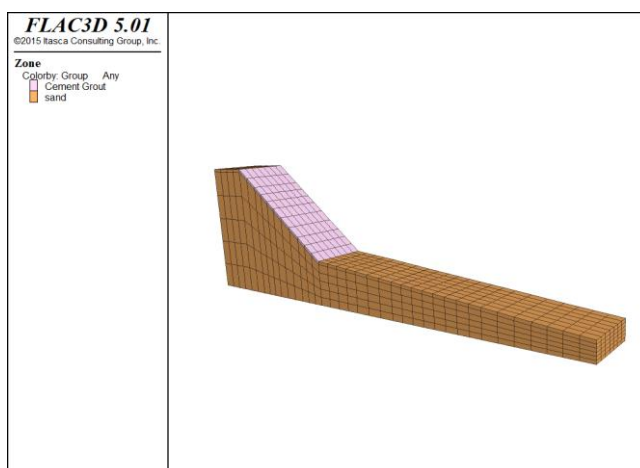
شکل ۱۶ نحوه ساخت شیب مسلح با ستون سنگی مسلح



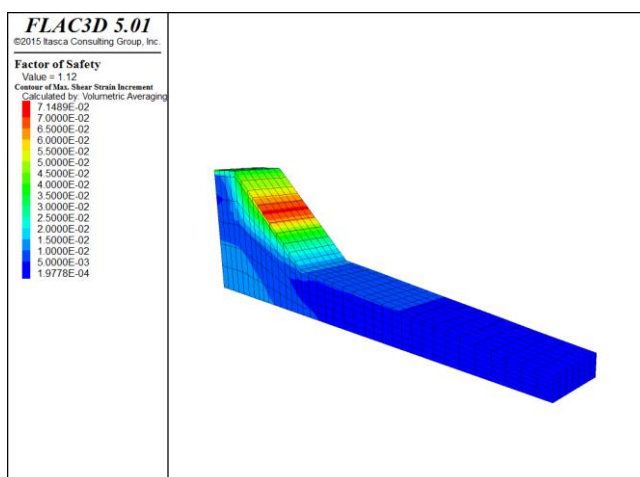
شکل ۱۷ ایجاد ترک و گسیختگی کامل شیب مسلح با ستون سنگی تسلیح شده با ژئوتکتایل

### تحلیل های عددی با نرم افزار FLAC<sup>3D</sup>

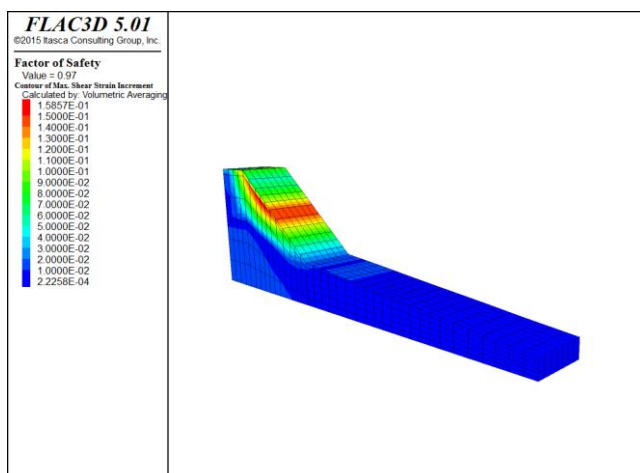
تحلیل های عددی به روش تفاضل محدود سه بعدی و با نرم افزار FLAC<sup>3D</sup> صورت گرفته است و مدل سازی برای هر سه حالت شیب غیر مسلح، شیب مسلح با ستون سنگی معمولی و شیب مسلح با ستون سنگی تسلیح شده با ورقه های افقی ژئوتکتایل انجام شده است. نتایج تحلیل های عددی به خوبی تصدیق کننده نتایج مدل سازی های آزمایشگاهی می باشند. ویژگی شیب های



شکل ۱۸ شیب غیر مسلح در تحلیل عددی



شکل ۱۹ تحلیل و مقدار ضریب اطمینان شیب غیر مسلح خشک



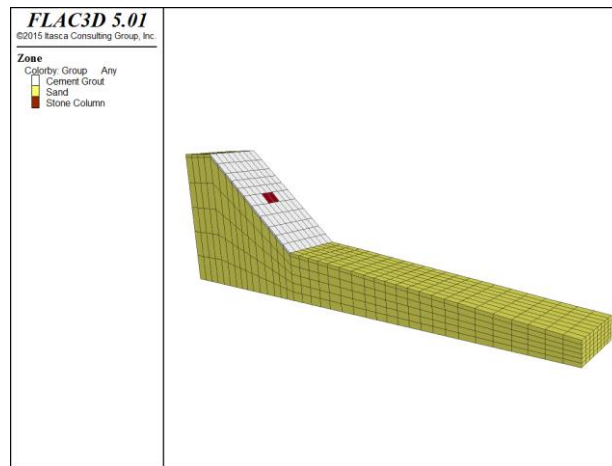
شکل ۲۰ تحلیل و مقدار ضریب اطمینان شیب غیر مسلح اشباع (بدون بارگذاری)

### تحلیل شیروانی مسلح با ستون سنگی معمولی

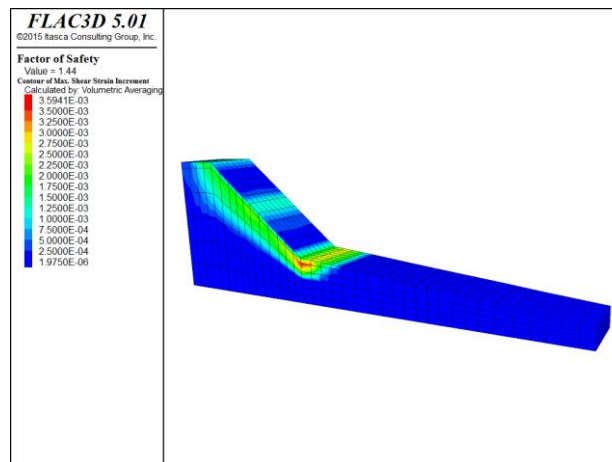
در گام بعدی شیروانی مسلح با ستون سنگی معمولی مورد تحلیل عددی قرار می‌گیرد (مدل تحلیلی این شیب در شکل (۲۱) نشان داده شده است). در این مدل، ستون سنگی به صورت یک المان مکعب مربع مدل شده است که صحت این فرض قبلاً به اثبات رسیده است [24, 42]. ابتدا شیروانی مسلح در حالت خشک تحلیل می‌شود و مقدار ضریب اطمینان آن  $1/44$  به دست می‌آید (شکل ۲۲). سپس شیب در حالت اشباع تحلیل می‌شود که مقدار ضریب اطمینان آن  $1/24$  محاسبه شده است (شکل ۲۳). در مرحله آخر تحلیل این شیب در حالت بارگذاری تاج آن با همان مشخصات انجام می‌شود و بار

بحرانی برای ایجاد گسیختگی شیروانی  $5/850$  کیلوپاسکال به دست می‌آید (شکل ۲۴).

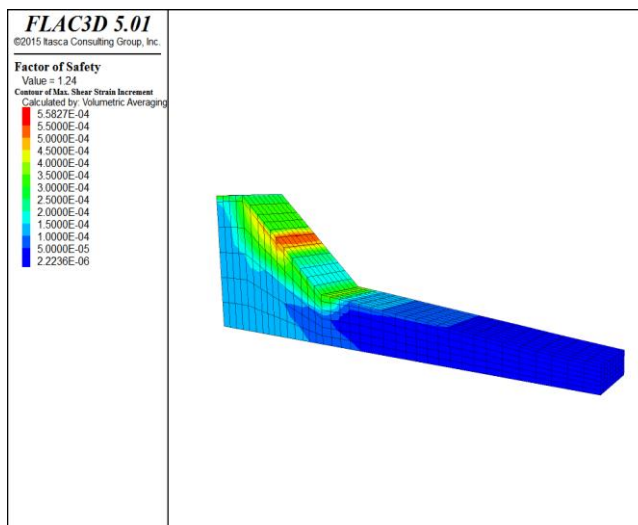
در آزمایشگاه مقدار تنش‌ی که سبب گسیختگی شیروانی می‌شود،  $67060$  کیلوپاسکال است و این مقدار در تحلیل عددی  $5/850$  به دست آمده است و اختلاف آنها کمتر از  $1$  درصد می‌باشد. مدل سازی آزمایشگاهی دارای برخی خطاهای غیر قابل کنترل می‌باشد از جمله تأثیر جداره‌های کناری (حتی در حالت آغشته شده به روغن)، عملکرد زهکشی ستون سنگی و نیز فرض مکعبی بودن ستون سنگی در نرم‌افزار درحالی که در آزمایشگاه ستون سنگی به صورت استوانه‌ای بوده است.



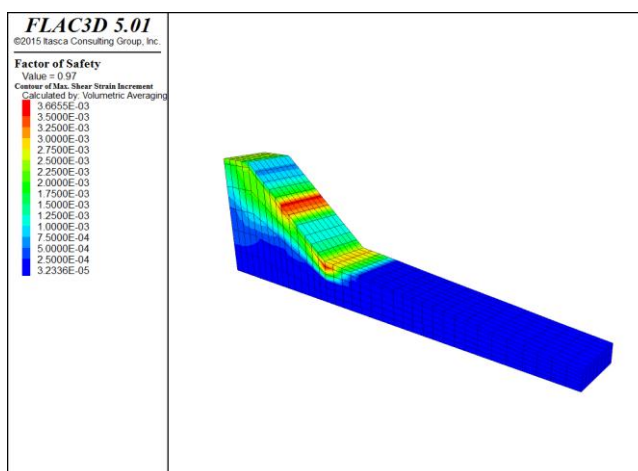
شکل ۲۱ شیب مسلح در تحلیل عددی



شکل ۲۲ تحلیل و مقدار ضریب اطمینان شیب مسلح با ستون سنگی معمولی خشک



شکل ۲۳ تحلیل و مقدار ضریب اطمینان شیب مسلح با ستون سنگی معمولی اشباع



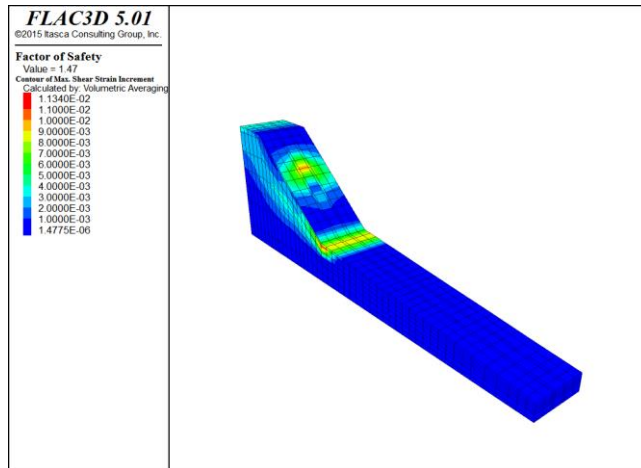
شکل ۲۴ تحلیل و مقدار ضریب اطمینان شیب مسلح ستون سنگی معمولی اشباع با بارگذاری (بار بحرانی ۵/۸۵۰ کیلوپاسکال)

### تحلیل شیروانی مسلح با ستون سنگی تسلیح شده با ورقه‌های افقی ژئوتکستایل

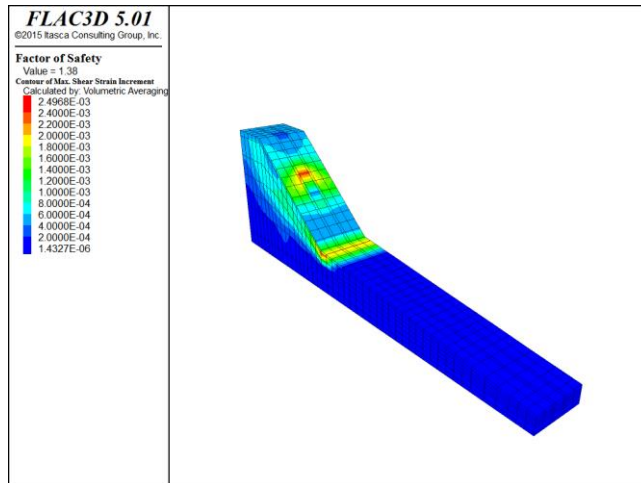
در گام سوم، شیب مسلح با لایه‌های افقی ژئوتکستایل تحلیل و بررسی می‌شود. در این مدل، ستون سنگی به صورت المان مربعی با لایه‌های افقی ژئوتکستایل درون آن مدل‌سازی می‌گردد. در ابتدا، شیب خشک تحلیل می‌شود و مقدار ضریب اطمینان ۱/۴۷ به دست می‌آید (شکل ۲۵). سپس شیب اشباع مدل‌سازی می‌شود و ضریب اطمینان آن ۱/۳۸ به دست می‌آید (شکل ۲۶). در مرحله آخر، شیب تحت شرایط بارگذاری با همان

مشخصات تحلیل می‌شود و بار بحرانی برای گسیختگی شیب مقدار ۸/۲۷۸ کیلوپاسکال به دست می‌آید (شکل ۲۷).

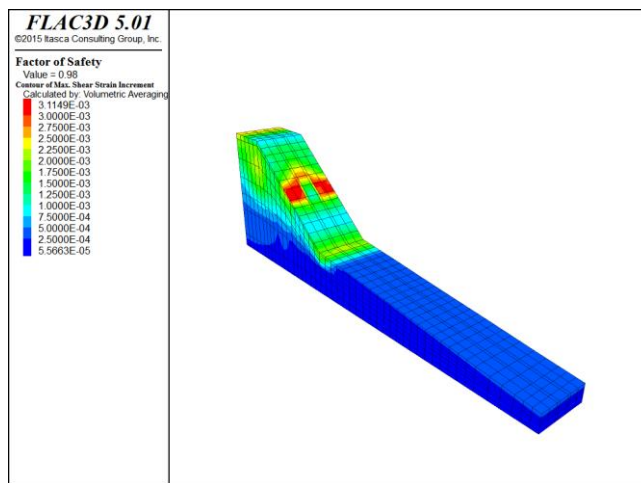
در آزمایشگاه مقدار باری که سبب گسیختگی این شیب شده است، ۹/۰۹۰ کیلوپاسکال بوده است و این مقدار در حالت تحلیل عددی ۸/۲۷۸ به دست آمده است. این مقادیر تطابق بسیار خوبی با یکدیگر دارد. نتایج تحلیل‌های عددی و آزمایشگاهی در جدول (۵) ارائه شده است.



شکل ۲۵ تحلیل و مقدار ضریب اطمینان شیب مسلح با ستون سنگی مسلح خشک



شکل ۲۶ تحلیل و مقدار ضریب اطمینان شیب مسلح با ستون سنگی مسلح اشباع



شکل ۲۷ تحلیل و مقدار ضریب اطمینان شیب مسلح ستون سنگی مسلح اشباع با بارگذاری (بار بحرانی ۸/۲۷۸ کیلوپاسکال)

جدول ۵ ظرفیت باربری شیب‌ها در مدل‌سازی‌های عددی و آزمایشگاهی

تحلیل عددی	مدل‌سازی آزمایشگاهی	
ناپایدار	ناپایدار	شیب غیر مسلح در حالت اشباع
۰	۰	ظرفیت باربری شیب غیر مسلح در حالت اشباع
پایدار	پایدار	شیب مسلح با ستون سنگی معمولی در حالت اشباع
۵/۸۵۰ کیلوپاسکال	۶/۰۶۰ کیلوپاسکال	ظرفیت باربری شیب مسلح با ستون سنگی معمولی در حالت اشباع
پایدار	پایدار	شیب مسلح با ستون سنگی تسلیح شده با ژئوتکتایل در حالت اشباع
۸/۲۷۸ کیلوپاسکال	۹/۰۹۰ کیلوپاسکال	ظرفیت باربری شیب مسلح با ستون سنگی تسلیح شده با ژئوتکتایل در حالت اشباع

به دلیل دخالت عوامل پیچیده و متعدد در این زمینه، ایجاد شرایط کاملاً مشابه بین مدل آزمایشگاهی و نمونه اصلی امکان‌پذیر نمی‌باشد و باید تصمیم‌گیری در مورد عوامل مؤثر در اثرات مقیاس به قضاوت محققان در این زمینه واگذار شود.

### بحث و نتیجه‌گیری

در این پژوهش، تعدادی مدل‌سازی آزمایشگاهی برای شیب ماسه‌ای مسلح با ستون سنگی معمولی و ستون سنگی تسلیح شده با پوشش ژئوتکتایل انجام شده است و نتایج حاصل با استفاده از نرم‌افزار تفاضل محدود سه‌بعدی صحت‌سنجی شده‌اند. ستون سنگی مسلح شده با ژئوتکتایل ظرفیت باربری شروانی را نسبت به حالت ستون سنگی معمولی در حدود ۱/۵ برابر افزایش داده و پایداری شیب را به اندازه‌ای در حدود ۵۰ درصد بهبود بخشیده است. این افزایش ظرفیت باربری شیب ناشی از مقاومت کششی و مدول الاستیسیته بالایی می‌باشد که ورقه‌های ژئوتکتایل برای ستون سنگی فراهم می‌کنند. ستون سنگی مانع توسعه صفحه گسیختگی می‌شود و در برابر تغییر شکل‌های جانبی به دلیل جابه‌جایی محل ستون سنگی در حین بارگذاری مقاومت می‌کند. استفاده از مسلح‌کننده ژئوتکتایل به شکل ورقه‌های افقی، مقاومت در برابر بارهای اعمالی را به خوبی

### اثرات مقیاس و تحلیل ابعادی

واضح است که به دلیل اثرات مقیاس و طبیعت خاک‌ها (به ویژه خاک‌های ماسه‌ای)، خاک‌ها ممکن است همان نقشی را که در مدل‌های آزمایشگاهی ایفا می‌کنند در نمونه اصلی نداشته باشند. این تفاوت‌ها در ابتدا به علت تفاوت در تراز تنش بین آزمایش‌های مدلی و آزمایش‌های صحرایی اتفاق می‌افتاد [43]. با توجه به این موضوع سواف [44] پیشنهاد کرده است که استفاده از مدل‌های 1-g می‌تواند فقط در پیش‌بینی‌های رفتارهای کلی نمونه‌های اصلی به کار برود. هجد و سیت‌هارام [45] توضیح داده‌اند که آزمایش‌های کوچک مقیاس در شرایط 1-g به دست‌یابی تقریب مناسب اطلاعات در مورد رفتار کلی نمونه‌های اصلی، سریع‌تر و ساده‌تر از آزمایش‌های بزرگ مقیاس کمک می‌کنند، هرچند که آزمایش‌های بزرگ مقیاس کنترل بهتری در مورد پارامترهای کلیدی نمونه مورد نظر دارند. نکته مهم در این زمینه این است که نتایج آزمایش‌های کوچک مقیاس متأثر از اثرات مقیاس هستند و نتایج به دست آمده در شرایط آزمایش‌های 1-g مستقیماً برای حالت نمونه اصلی قابل کاربرد نیستند. همان‌طور که توسط فاخر و جونز [46] پیشنهاد شده است، نتایج آزمایش‌های کوچک مقیاس را می‌توان با استفاده دقیق از قوانین مقیاس برای نمونه‌های اصلی هم به کار برد. آنان هم‌چنین هشدار می‌دهند که

راحتی اجرا، توانایی تثبیت شیب‌های در معرض خطر را به خوبی دارا می‌باشد.

با این حال، رفتار شیب‌های طبیعی ممکن است با آنچه که در این پژوهش انجام گرفته است متفاوت باشد، به همین منظور تحقیقات بیشتر در این زمینه و استفاده از آزمایش‌های دیگری همچون آزمایش‌های بزرگ‌مقیاس پیشنهاد می‌شود.

افزایش می‌دهد و پایداری شیب را بهبود می‌بخشد. استفاده از لایه‌های افقی ژئوتکستایل درون ستون سنگی تغییری در حالت شکست ستون ایجاد نمی‌کند و شکست هر دو ستون سنگی (ستون سنگی معمولی و ستون سنگی مسلح با ژئوتکستایل) به صورت گسیختگی برشی می‌باشد. استفاده از ستون سنگی مسلح با ژئوتکستایل، یک روش مفید و کارآمد می‌باشد که علاوه بر سادگی و

## مراجع

1. Fattah, M. Y. and Majeed, Q. G., "Finite Element Analysis of Geogrid Encased Stone Columns", *Geotechnical and Geological Engineering*, Vol. 30, Pp. 713-726, (2012).
2. Ambily, A. P. and Gandhi. S. R., "Behavior of Stone Columns Based on Experimental and FEM Analysis", *Geotechnical and Geoenvironmental Engineering*, Vol. 133, (2007).
3. Aboshi, H., Ichimoto, E., Enoki, M. and Harada, K., "The Composer - A Method to Improve Characteristics of Soft Clay by Inclusion of Large Diameter Sand Columns", *Proceedings of the International Conference on Soil Reinforcement: Reinforced Earth and other Techniques*, Paris, Vol. 1, Pp. 211-216, (1979).
4. Xanthakos, P. P., Amberson, L. W. and Bruce, D., "Ground Control and Improvement", New York, John Wiley & Sons, (1994).
5. Vekli, M., Aytakin, M., Ikizler, S. B. and Calik, U., "Experimental and Numerical Investigation of Slope Stabilization by Stone Columns", *Natural Hazards*, Vol. 64, No. 1, Pp. 797-820, (2012).
6. Rao, B. G. and Bhandari, R. K., "Skirting - A New Concept in Design of Heavy Storage Tank Foundation", *Proceedings of the 6<sup>th</sup> South-East Conference on soil Engineering*, Taipei, Taiwan, Pp. 283-300, (1980).
7. Juran, I. and Riccobono, O., "Reinforced Soft Soils with Artificially Cemented Compacted-sand Columns", *Journal of Geotechnical Engineering*, ASCE, Vol. 117, No. 7, Pp. 1042-1060, (1991).
8. Sharma, R. S., Kumar, B. R. P., and Nagendra, G., "Compressive Load Response of Granular Piles Reinforced with Geogrids", *Canadian Geotechnical Journal*, Vol. 41, No. 1, Pp. 187-192, (2004).
9. Gniel. J. and Bouazza A., "Improvement of Soft Soils Using Geogrid Encased Stone Columns", *Geotextiles and Geomembranes*, Vol. 27, Pp. 167-175, (2009).
10. Van Impe, W. F., "Soil Improvement Techniques and Their Evolution", Balkema, Rotterdam, The Netherlands, (1989).
11. Katti, R. K., Katti, A. R. and Naik, S., "Monograph to Analysis of Stone Columns with and Without Geosynthetic Encasement", CBIP Publication, New Delhi, (1993).

12. Al-Joulani, M. A., "Laboratory and Analytical Investigation of Sleeve Reinforced Stone Columns", Ph.D. Thesis, Carleton Univ., Ottawa, Ontario, Canada, (1995).
۱۳. فردوسی شاهاندشتی، آتنا، مقدس‌نژاد، فریدون، افلاکی، اسماعیل، «بررسی عددی پایداری دیوارهای خاکی مسلح با ژئوستتیک»، نشریه مهندسی عمران دانشگاه فردوسی مشهد، سال ۲۷، ش. ۱، (۱۳۹۴).
۱۴. بدو، کاظم، امامی، رقیه، «پیش‌بینی و چگونگی در اختیار گرفتن نشست خاکریز ساخته شده روی پی سست با مسلح سازی به کمک ژئوتکستایل (مطالعه موردی بزرگراه شهید کلانتری)»، نشریه مهندسی عمران دانشگاه فردوسی مشهد، سال ۲۲، ش. ۲، (۱۳۹۰).
15. Raithel, M. and Kempfert, H. G., "Calculation Models for Dam Foundations with Geotextile Coated Sand Columns", *Proceedings of the International Conference on Geotechnical and Geological Engineering*, Melbourne, (2000).
16. Raithel, M., Kempfert, K. G. and Kirchner, A., "Geotextile- Encased Columns (GEC) for foundation of a dike on very soft soils", *Proceedings of the 7th International Conference on Geosynthetics*, Nice, France, Pp. 1025-1028, (2002).
17. Raithel, M., Kuster, V., and Lindmark, A., "Geotextile encased columns - A Foundation System for Earth Structures, Illustrated by a Dyke Project for a Works Extension in Hamburg", Nordic Geotechnical Meeting NGM 2004, Ystad, Sweden. (2004).
18. Raithel, M. and Kirchner, A., "Calculation Techniques and Dimensioning of Encased Columns - Design and State of the Art", *Proceedings of the 4th Asian Regional Conference on Geosynthetics*, June 17-20, Sanghai, China, (2008).
19. Pulko, B., Majes, B., Logar, J., "Geosynthetic-encased Stone Columns: Analytical Calculation Model", *Geotextiles and Geomembranes*, Vol. 29, Pp. 29-39 (2011).
20. Murugesan, S. and Rajagopal, K., "Model Tests on Geosynthetic Encased Stone Columns", *Journal of the Geosynthetics International*, Vol. 14, No. 6, Pp. 346-354, (2007).
21. Malarvizhi, I., "Comparative Study on the Behavior of Encased Stone Column and Conventional Stone Column", *Soil and Foundations. Japanese Geotechnical Society*, Vol. 47, No. 5, Pp. 873-855, (2007).
22. Lo, S. R., Zhang, R. and Mak, J., "Geosynthetic-encased Stone Columns in Soft Clay: A Numerical Study", *Geotextiles and Geomembranes*, Vol. 28, No. 3, Pp. 292- 302, (2010).
23. Khabazian, M., Kaliakin, V. N. and Meehan, C. L., "3D Numerical Analyses of Geosynthetic Encased Stone Columns", *ASCE Conference Proceedings*, Pp. 201-208, (2010).
24. Keykhosropur, L., Soroush, A. and Imam, R., "3D Numerical Analyses of Geosynthetic Encased Stone Columns", *Geotextiles and Geomembranes*, Vol. 35, Pp. 61-68, (2012).
25. Almeida, M. S. S., Hosseinpour, I. and Riccio, M., "Performance of a Geosynthetic Encased Column (GEC) in Soft Ground: Numerical and Analytical Studies", *Geosynthetics International*, Vol. 20, No. 4, Pp. 252-262, (2013).



26. Elsayy, M .B. D., "Behaviour of Soft Ground Improved by Conventional and Geogrid-encased Stone Columns, Based on FEM Study", *Geosynthetics International*, Vol. 20, No. 4, Pp. 276-285, (2013).
27. Kempfert, H. G., Raithel, M. and Jaup, A., "Model Tests for Analysis of the Bearing and Deformation Behavior of Column Foundations", *Proceedings of 12th European Conference on Soil Mechanics and Geotechnical Engineering. Geotechnical Engineering for Transportation Infrastructure*, Balkema, Rotterdam, Pp. 1521-1526, (1999).
28. Raithel, M. and Kempfert, H. G., "Calculation Models for Dam Foundations with Geosynthetic Coated Sand Columns", *Proceedings of International Conference on Geotechnical & Geological Engineering. GeoEng*, Melbourne Australia, Pp. 347-352, (2000).
29. Geduhn, M., Raithel, M. and Kempfert, H. G., "Practical Aspects of the Design of Deep Geosynthetic Coated Sand Columns for the Foundation of a Dike on Very Soft Soils", *Proceedings of 4th International Symposium on Earth Reinforcement: Landmarks in Earth Reinforcement*, Vol. 1, Pp. 545-548. Fukuoka, Kyushi, Japan, (2001).
30. Alexiew, D., Brokemper, D. and Lothspeich, S., "Geosynthetic Encased Columns (GEC): Load Capacity, Geosynthetic Selection and Pre-design Graphs", *Contemporary Issues in Foundation Engineering*. ASCE, New York, USA, Pp. 497-510. Geotechnical Special Publication, No. 131, (2005).
31. Black, J. A., Sivakumar, V., Madhav, M. R. and Hamill, G. A., "Reinforced Stone Columns in Weak Deposits: Laboratory Model Study", *Journal of Geotechnical and Geoenvironmental Engineering*, Vol. 133, No. 9, Pp. 1154-1161, (2007).
32. Wu, C. S., Hong, Y. S. and Lin, H. C., "Axial Stress-relation of Encapsulated Granular Column" *Computers and Geotechnics*, Vol. 36, No. 2, Pp. 226-240, (2008).
33. Joel, G. and Abdelmalek, B., "Improvement of Soft Soils Using Geogrid Encased Stone Columns", *Geotextiles and Geomembranes*, Vol. 27, No. 3, Pp. 167-175, (2009).
34. Zhang, Y. P., Li, T. and Wang, Y., "Theoretical Elastic Solutions for Foundations Improved by Geosynthetic-encased Columns", *Geosynthetics International*, Vol. 18, No. 1, Pp. 12-20, (2011).
35. Kempfert, H. G., "Ground Improvement Methods with Special Emphasis on Column-type Techniques", In: *International Workshop on Geotechnics of Soft Soils - Theory and Practice*, Netherlands, Pp. 101-112, (2003).
36. Murugesan, S. and Rajagopal, K., "Studies on the Behavior of Single and Group of Geosynthetic Encased Stone Columns", *Journal of Geotechnical and Geoenvironmental Engineering*, ASCE Vol. 136, No. 1, Pp. 129-139, (2010).
37. Hosseinpour, I., Riccio, M. and Almeida, M. S. S., "Numerical Evaluation of Granular Column Reinforced by Geosynthetics Using Encasement and Laminated Disks", *Geotextiles and Geomembranes*, Vol. 42, No. 4, Pp. 363-373, (2014).

38. NazariAfshar, J. and Gazavi, M., "Experimental Studies on Bearing Capacity of Geosynthetic Reinforced Stone Columns", *Arabian Journal of Science and Engineering*, Vol. 39, Pp. 1559-1571, (2014).
39. Hong, Y. S., Wu, C. S. and Yu, Y. S., "Model Tests on Geotextile-encased Granular Columns under 1-g and Undrained Conditions", *Geotextiles and Geomembranes*, Vol. 44, Pp. 13-27, (2016).
40. Das, B. M., "Advanced Soil Mechanics", Fourth edition, CRC Press.
41. Hajiazizi, M. and Mazaheri, A. R., "Use of Line Segments Slip Surface for Optimized Design of Piles in Stabilization of Earth Slopes", *International Journal of Civil Engineering*, No. 1, Transaction B: Geotechnical engineering, Vol. 13, (2015).
42. Murugesan, S. and Rajagopal, K., "Geosynthetic-encased Stone Columns: Numerical Evaluation", *Geotextiles and Geomembranes*, Vol. 24, Pp. 349-358, (2006).
43. Vesic, A. S., "Analysis of Ultimate Loads of Shallow Foundations", *Soil Mechanics and Foundation*, Vol. 99, No. 1, Pp. 45-73, (1973).
44. Sawwaf, M., "Strip Footing Behavior on Pile and Sheet Pile-stabilized Sand Slope", *Journal of Geotechnical and Geoenvironmental Engineering*, Vol. 131, No. 6, Pp. 705-715, (2005).
45. Hegde, A. M. and Sitharam, T. G., "Experimental and Numerical Studies on Protection of Buried Pipeline Sand Underground Utilities Using Geocells", *Geotextiles and Geomembranes*, Vol. 43, No. 5, Pp. 372-381, (2015).
46. Fakher, A. and Jones, C. J. F. P., "Discussion on Bearing Capacity of Rectangular Footings on Geogrid Reinforced Sand. by Yetimoglu, T., Wu, J. T. H., Saglamer, A., 1994", *Journal of Geotechnical Engineering*, Vol. 122, Pp. 326-327, (1996).